

А. Ю. Егорова, В. В. Чадина

**АРИЛМЕТИЛЕНОВЫЕ ПРОИЗВОДНЫЕ  
5-R-3H-ФУРАН-2-ОНОВ И N-АРИЛ-5-R-3H-ПИРРОЛ-2-ОНОВ  
В РЕАКЦИИ С АЦЕТИЛАЦЕТОНОМ**

В ряду 3-арилметилензамещенных фуран-2-онов и пиррол-2-онов изучено взаимодействие с ацетилацетоном, осуществлен синтез 5-арил-3-оксо-4-ацил-8-R-9-оксабицикло[4.3.0]нона-1,7-диенов и 5-арил-3-оксо-4-ацил-N-толил-8-R-9-азабицикло[4.3.0]нона-1,7-диенов.

**Ключевые слова:** арилметиленовые производные 3H-фуран-2-онов, N-арил-3H-пиррол-2-онов, ацетилацетон, конденсация Михаэля.

В структуре изучаемых соединений содержится сопряженный оксоеновый фрагмент, включающий эндоциклическую связь C=C и двойную связь карбонильной группы. Ранее было показано [1], что связи C=C и C=O фиксированы в S-*cis*-конфигурации, что делает возможным использование 3-арилметилензамещенных фуран-2-онов и пиррол-2-онов в реакции конденсации.

Широкие синтетические возможности использования 3-арилметилен-3H-фуран-2-онов, N-арил-3-арилметилен-3H-пиррол-2-онов связаны, в первую очередь, с наличием в молекулах этих соединений двух электрофильных центров. Вследствие делокализации электронной плотности в системе C=C-C=O эти соединения ведут себя как амбидентные электрофили и присоединение нуклеофильных частиц к ним может осуществляться по двум направлениям: с атакой по атому углерода карбонильной группы (1,2-присоединение), либо по β-атому углерода (1,4-присоединение).

Относительная реакционная способность 3-арилметилен-3H-фуран-2-онов, N-арил-3-арилметилен-3H-пиррол-2-онов в реакции 1,2- и 1,4-присоединения рассмотрена с точки зрения теории возмущения молекуллярных орбиталей (ВМО). В рамках этой теории с учетом электронного строения енонового фрагмента присоединение по группе C=O идет под зарядовым контролем, а 1,4-присоединение (по β-атому углерода) – под орбитальным, что обусловлено максимальным положительным зарядом на карбонильном углероде и максимальной локализацией НСМО при β-атоме углерода.

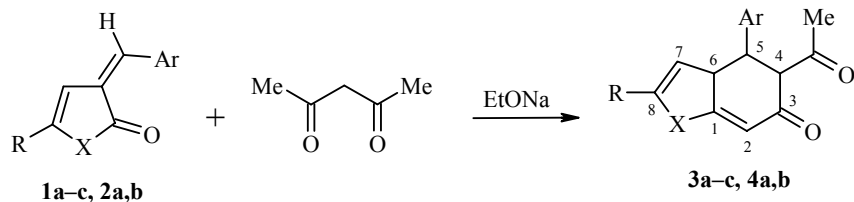
Протеканию орбитально контролируемого 1,4-присоединения способствует увеличение степени делокализации заряда на электрофильтном центре эндоциклической связи C=C арилметилензамещенных фуранонов, сопровождающееся понижением уровня энергии НСМО. Для исходных арилметилензамещенных 3H-фуран-2-онов и N-арил-3H-пиррол-2-онов

рассчитаны значения электронной плотности на НСМО при экзоциклическом  $sp^2$ -гибридизованном атоме углерода по программе MOPAC, выполненные методом ССП МО ЛКАО в приближении MNDO параметризацией PM3 (табл. 1). Расчетные данные показывают, что значение электронной плотности на НСМО атома углерода экзоциклической связи C=C выше, чем таковое для атома углерода карбонильной группы, на этом основании сделано заключение о протекании 1,4-присоединения в случае взаимодействия с С-нуклеофилами.

На основании полученных результатов можно предположить наибольшую активность у N-арил-5-R-3-арилiden-3Н-пиррол-2-онов (максимально локализована НСМО при экзоциклическом  $sp^2$ -гибридизованном атоме углерода) по сравнению с другими соединениями конденсации Михаэля в качестве акцептора.

Особый интерес представляет использование в качестве акцепторов гетероциклических соединений. Ранее подобное превращение было рассмотрено на примере взаимодействия 3Н-фуран-2-онов с метилвинилкетоном и 3-арилметилен-3Н-пиррол-2-онов с циклогексаноном [2].

Конденсация Михаэля 5-R-3-арилметилен-3Н-фуран-2-онов **1a–c** с впервые использованным нами аддендом – дикетоном (ацетилацетоном) – при нагревании (60–65 °C) в этаноле в условиях основного катализа (этат натрия) приводит к образованию 5-арил-4-ацил-3-оксо-8-R-9-оксабицикло[4.3.0]нона-1,7-диенов **3a–c** с выходами 63–71% (табл. 2).



**1, 3 a** X = O, R = *p*-Tol, Ar = Ph; **b** X = O, R = C<sub>5</sub>H<sub>11</sub>, Ar = Ph, **c** X = O, R = Me, Ar = 3,4-(MeO)<sub>2</sub>C<sub>6</sub>H<sub>3</sub>; **2, 4 a** X = N-*p*-Tol, R = Me, Ar = Ph; **b** X = N-*p*-Tol, R = C<sub>5</sub>H<sub>11</sub>, Ar = Ph

Конденсация Михаэля была распространена нами и на N-гетероаналоги арилметилензамещенных фуранонов, а именно, N-арил-5-R-3-арилметилен-3Н-пиррол-2-оны **2a,b**. Впервые установлено, что N-арил-5-R-3-арилметилен-3Н-пиррол-2-оны способны выступать в качестве акцептора в реакции Михаэля с ацетилацетоном с образованием 5-арил-4-ацил-3-оксо-N-толил-8-R-9-азабицикло[4.3.0]нон-1,7-диенов **4a,b** с выходами 76–84% (табл. 2). Условия проведения реакции соединений **2a,b** с ацетилацетоном аналогичны условиям конденсации в ряду кислородсодержащих аналогов.

В ИК спектрах соединений **3a–c** присутствуют полосы поглощения двух карбонильных групп: 1560–1570 (C=O<sub>экзо</sub>) и 1665–1685 см<sup>-1</sup> (C=O, со-пряженной со связью C=C), а также полосы поглощения фрагмента C–O–C в области 1200–1270 см<sup>-1</sup>, колебания лактонного карбонила отсутствуют.

Таблица 1

**Значения электронной плотности на карбонильном атоме углерода (C=O) и экзоциклическом атоме углерода (C=C) 5-R-3-арилметилен-3Н-фuran-2-онов и N-арил-5-R-3-арилметилен-3Н-пиррол-2-онов**

Соединение	Значения электронной плотности на НСМО	
	C=O	C=C
<b>1a</b>	0.051	0.102
<b>1b</b>	0.073	0.296
<b>1c</b>	0.077	0.292
<b>2a</b>	0.072	0.301
<b>2b</b>	0.080	0.310

В ИК спектрах соединений **4a,b** присутствуют полосы поглощения двух карбонильных групп: 1665–1675 (C=O<sub>экзо</sub>), 1670–1695 см<sup>-1</sup> (C=O, сопряженной со связью C=C), а также полосы поглощения фрагмента C–N–C в области 1250–1360 см<sup>-1</sup>.

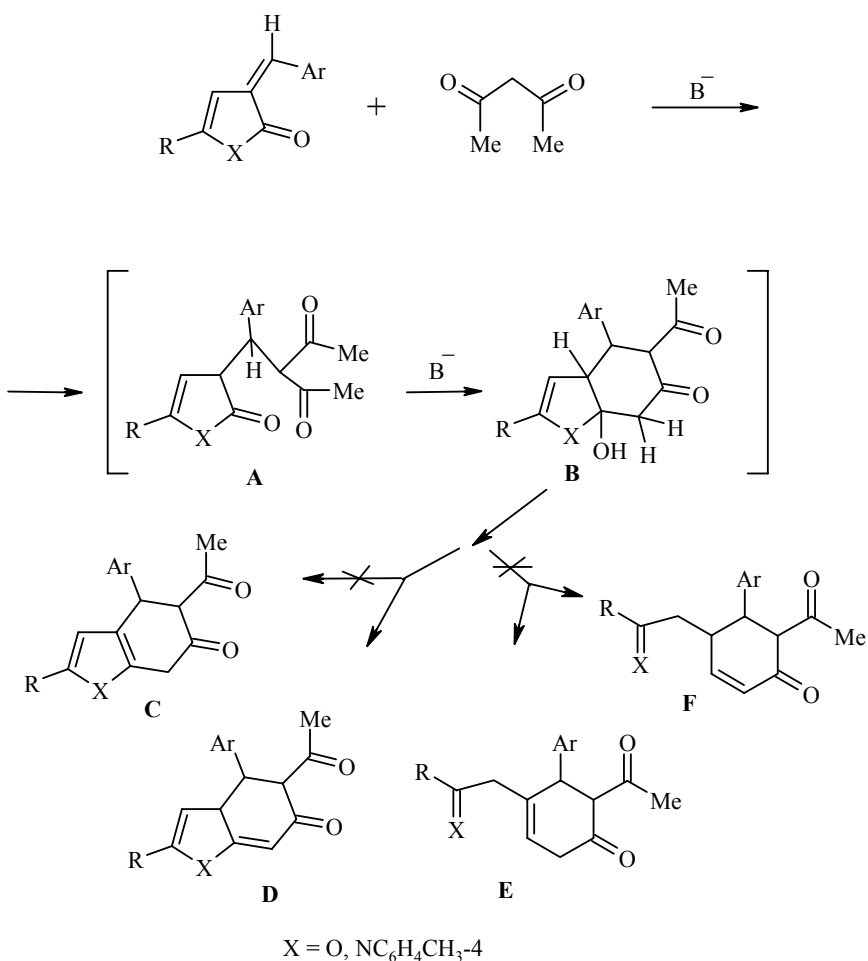
Наиболее информативными для определения структуры соединений **3a–c, 4a,b** являются данные спектров ЯМР <sup>1</sup>H и <sup>13</sup>C (табл. 3, 4). Характеристическими сигналами в спектрах ЯМР <sup>1</sup>H, подтверждающими образование оксабициклических структур **3a–c** и **4a,b**, служат сигналы метиновых протонов H-6 (~3.22) и H-5 (~3.28 м. д.), а также сигналы четвертичных атомов C-6 (~44), C-5 (~22) и C-4 (~71 м. д.) в спектрах ЯМР <sup>13</sup>C соединений **3a** и **4b** (табл. 4).

Полученные экспериментальные и спектральные данные позволяют предположить вероятную схему протекания реакции. При использовании в конденсации Михаэля в качестве аддента соединений, имеющих активированную метильную группу, с учетом литературных данных [3], можно было ожидать неоднозначного протекания реакции.

Таблица 2

**Физико-химические характеристики продуктов конденсации Михаэля **3a–c, 4a,b****

Соединение	Брутто-формула	Найдено, %			Т. пл., °C	Выход, %
		C	H	N		
<b>3a</b>	C <sub>23</sub> H <sub>20</sub> O <sub>3</sub>	<u>80.05</u>	<u>6.03</u>	–	134–135	69
		80.23	5.81	–		
<b>3b</b>	C <sub>21</sub> H <sub>24</sub> O <sub>3</sub>	<u>74.76</u>	<u>7.21</u>	–	145–147	63
		74.11	6.97	–		
<b>3c</b>	C <sub>19</sub> H <sub>20</sub> O <sub>5</sub>	<u>69.12</u>	<u>6.37</u>	–	103–105	71
		69.51	6.09	–		
<b>4a</b>	C <sub>28</sub> H <sub>31</sub> NO <sub>3</sub>	<u>78.54</u>	<u>7.89</u>	<u>3.23</u>	177–179	84
		78.32	7.22	3.26		
<b>4b</b>	C <sub>24</sub> H <sub>23</sub> NO <sub>3</sub>	<u>77.45</u>	<u>5.87</u>	<u>3.37</u>	164–165	76
		77.21	6.16	3.75		



Первоначально в условиях основного катализа образуются 1,5-диоксо-соединения **A**, имеющие в своем составе гетероциклический фрагмент. Процесс не останавливается на стадии образования интермедиата, реакция протекает более глубоко и приводит к продуктам карбоциклизации. Это обусловлено подвижностью протонов соседней метильной группы, последующей дегидратацией и образованием предполагаемых структур **C** и **D**. Нельзя было исключить и возможность расщепления фуранового (пирролонового) кольца, приводящего к соединениям **E** и **F**.

Однако анализ данных ИК спектров, спектров ЯМР  $^1\text{H}$  и  $^{13}\text{C}$  позволяет исключить образование соединений типа **E** и **F** (табл. 3, 4) и подтверждает образование из двух наиболее вероятных форм (**C** и **D**) структуры **D**.

Это полностью подтверждается при сравнении химического поведения 5-R-3-арилметилен-3Н-фуран-2-онов и N-арил-5-R-3-арилметилен-3Н-пиррол-2-онов в качестве акцепторов в конденсации Михаэля. Следует отметить, что N-гетероаналоги реагируют в более мягких условиях, продукты реакции образуются с более высокими выходами.

Таким образом, экспериментальные данные полностью подтверждают ранее сделанные расчеты.

Таблица 3

Спектры ЯМР  $^1\text{H}$  соединений 3a–c, 4 a,b

Соединение	H-3, д	H-3a, д. д	H-4, д. д	H-5, д	H-7, с	$\text{CH}_3\text{CO}$ , с	Alk	Ar, м
3a	5.07 $J_{3,3a} = 6.5,$	3.23 $J_{3a,4} = 5.0,$	3.28 $J_{4,5} = 5.4$	3.59	5.38	2.09	2.35 (3H, с, $\text{CH}_3$ )	7.01–7.18 (9H)
3b	4.49 $J_{3,3a} = 6.4,$	3.23 $J_{3a,4} = 5.1,$	3.28 $J_{4,5} = 5.5$	3.59	5.38	2.09	0.96–1.96 (11H, м, $\text{C}_5\text{H}_{11}$ )	6.65–6.96 (4H)
3c	4.48 $J_{3,3a} = 6.5,$	3.24 $J_{3a,4} = 5.1,$	3.29 $J_{4,5} = 5.5$	3.60	5.37	2.10	2.35 (3H, с, $\text{CH}_3$ ), 3.73 (6H, с, $\text{OCH}_3$ )	6.53–6.58 (3H)
4a	4.08 $J_{3,3a} = 6.5,$	3.22 $J_{3a,4} = 5.0,$	3.27 $J_{4,5} = 5.5$	3.58	5.48	2.09	0.96–1.96 (11H, м, $\text{C}_5\text{H}_{11}$ )	6.35–6.96 (8H)
4b	4.50 $J_{3,3a} = 6.4,$	3.23 $J_{3a,4} = 5.1,$	3.28 $J_{4,5} = 5.4$	3.59	5.49	2.10	1.71 (3H, с, $\text{CH}_3$ ), 2.35 (3H, с, $\text{CH}_3$ )	6.34–7.10 (8H)

Таблица 4

Спектры ЯМР  $^{13}\text{C}$  соединений 3 и 4

Соединение	Химические сдвиги, $\delta$ , м. д.											
	C-8	C-7	C-6	C-5	C-4	C-3	C-2	C-1	C=O	$\text{CH}_3\text{—CO}$	Ar	Alk
3a	149.8	100.5	44.7	22.6	71.5	197.8	98.6	168.3	207.1	22.3	112.8–143.3	24.5
3b	148.6	100.8	44.3	23.1	71.9	198.7	99.5	168.4	206.9	22.5	113.1–144.4	12.3–20.2
3c	148.1	100.1	44.0	23.3	71.4	198.5	99.1	159.5	207.3	22.4	112.3–149.5	15.6
4a	143.2	96.9	43.5	23.5	70.1	197.9	98.7	160.1	207.9	22.3	117.4–143.9	21.9
4b	143.5	97.1	43.3	23.8	70.9	197.5	98.9	159.2	208.1	22.5	116.2–144.1	13.9–20.7

## ЭКСПЕРИМЕНТАЛЬНАЯ ЧАСТЬ

ИК спектры записаны на приборе Specord (Германия), спектральный диапазон – 400–4000  $\text{см}^{-1}$  для кристаллических соединений в виде суспензии в вазелиновом масле. Спектры ЯМР  $^1\text{H}$  и  $^{13}\text{C}$  получены на спектрометре Bruker MSL-400 (400 и 50 МГц соответственно) при 25 °C в  $\text{CDCl}_3$ , внутренний стандарт ТМС. ТХС проводилась на пластинах Silufol UV-254, в системах хлороформ–гексан–эфир, 2:1:1, этилацетат–гексан–хлороформ, 2:2:1, проявитель – пары иода. Хроматографическое разделение проводилось на колонке с силикагелем, элюенты изопропиловый спирт, этанол, гексан.

Квантово-химические расчеты проводились по программе MOPAC методом ССП МО ЛКАО в приближении MNDO, параметризацией PM3.

Ариметилензамещенные 3Н-фуран-2-оны **1a–c** получены по известной методике [4], N-арил-3Н-пиррол-2-оны **2a,b** – известным способом [5].

**5-Арил-4-ацил-3-оксо-8-R-9-оксабицикло[4.3.0]нон-1,7-диены 3a–c и 5-арил-4-ацил-3-оксо-N-толил-8-R-9-азабицикло[4.3.0]нона-1,7-диены 4a,b** (общая методика). К смеси 5.4 ммоль фуранона **1a–c** (или пирролона **2a,b**) и 5.4 ммоль ацетилацетона прибавляют по каплям 5.4 ммоль раствора свежеприготовленного этилата натрия в спирте. Реакционную смесь нагревают 3–7 ч, выливают в холодную воду, нейтрализуют разбавленной HCl, экстрагируют дизопропиловым эфиром, экстракт упаривают, кристаллический остаток перекристаллизовывают из гексана (табл. 2).

*Работа выполнена при поддержке гранта Президента РФ для молодых ученых МК-3581.2007.3.*

## СПИСОК ЛИТЕРАТУРЫ

1. А. Ю. Егорова, П. В. Решетов, Н. А. Морозова, В. А. Седавкина, *XTC*, 1043 (1997). [*Chem. Heterocycl. Comp.*, **33**, 910 (1997)].
2. З. Ю. Тимофеева, Дис. канд. хим. наук, Саратов, 2002.
3. П. Сайкс, *Механизмы реакций в органической химии*, Химия, Москва, 1991, с. 448.
4. В. А. Седавкина, Н. А. Морозова, А. Ю. Егорова, И. Г. Остроумов, *XTC*, 451 (1987). [*Chem. Heterocycl. Comp.*, **23**, 377 (1987)].
5. А. Ю. Егорова, В. В. Нестерова (Чадина), *XTC*, 1163 (2004). [*Chem. Heterocycl. Comp.*, **40**, 1002 (2004)].

Саратовский государственный университет  
им. Н. Г. Чернышевского, Саратов 410012, Россия  
e-mail: lerchikk2002@mail.ru

Поступило 01.09.2006